



基于协同关系的非自回归生成研究

黄书剑 博士 副教授

huangsj@nju.edu.cn

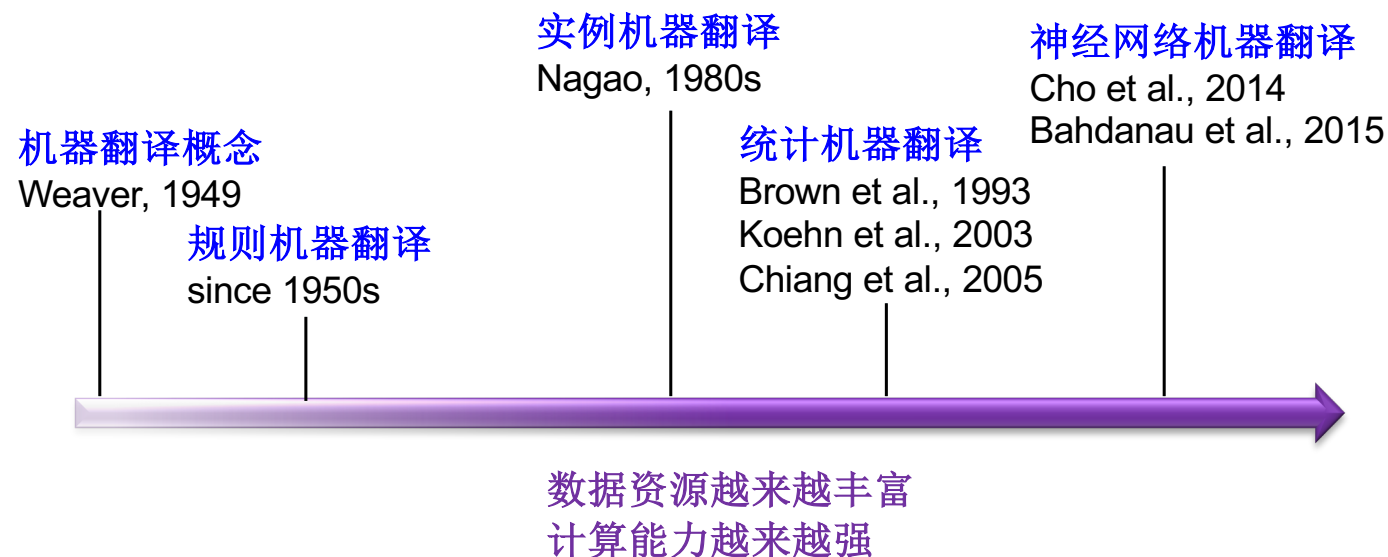
南京大学计算机科学与技术系
计算机软件新技术国家重点实验室





机器翻译的发展

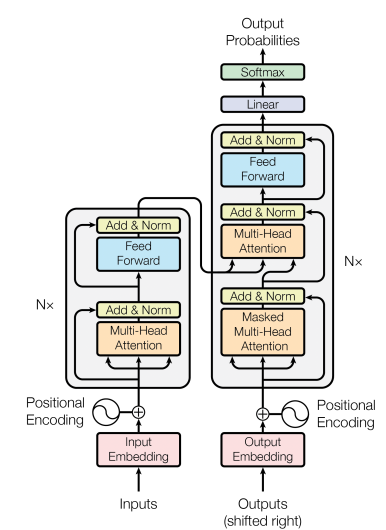
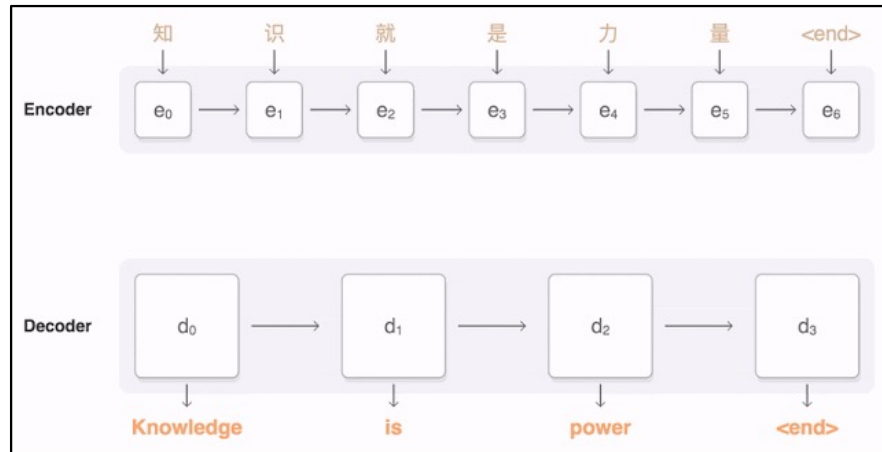
- 借助计算机程序将给定的输入由一种自然语言（源语言）翻译成为另一种自然语言（目标语言）





神经网络机器翻译

- 编码过程的并行化: 从 RNN 到 Transformer
 - 自左向右的时序关系被并行的self-attention计算取代

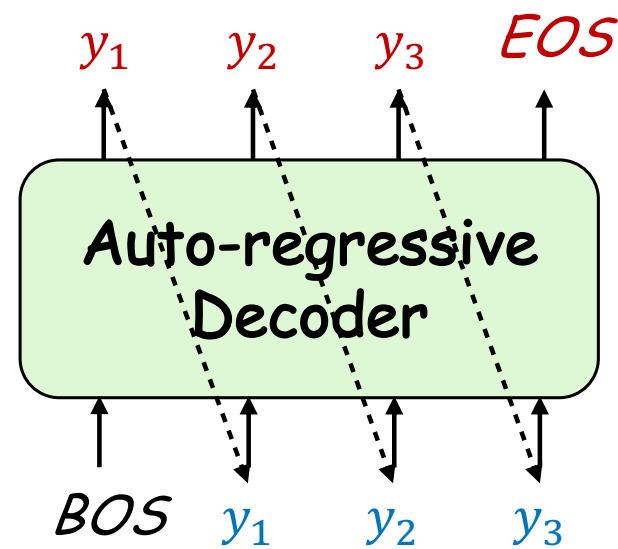


Vaswani et al., 2017

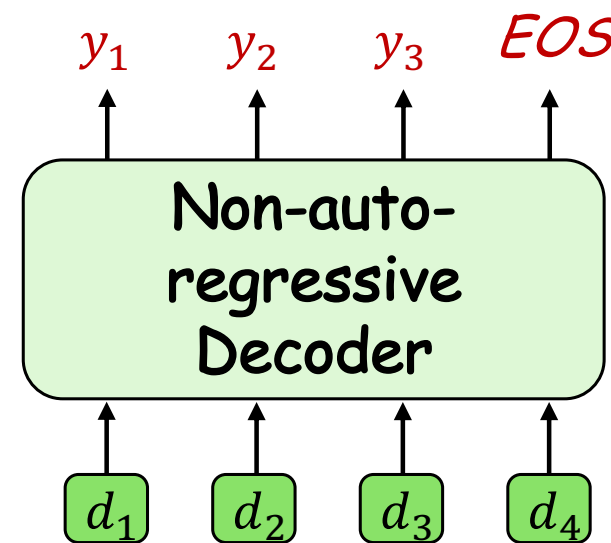
Images from: <https://medium.com/analytics-vidhya/transformer-vs-rnn-and-cnn-18eeefa3602b>

解码过程的并行化

- 自左向右解码 (auto-regressive) v.s. 并行解码 (non-auto-regressive)



$$P(Y|X) = p(y_1|X) \cdot p(y_2|y_1, X) \cdot \dots \cdot p(y_n|y_1, y_2, \dots, y_{n-1}, X)$$



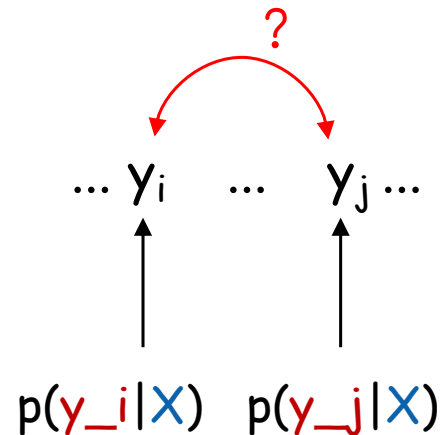
$$P(Y|X) \approx p(y_1|X) \cdot p(y_2|X) \cdot \dots \cdot p(y_n|X)$$

Gu et al. 2017



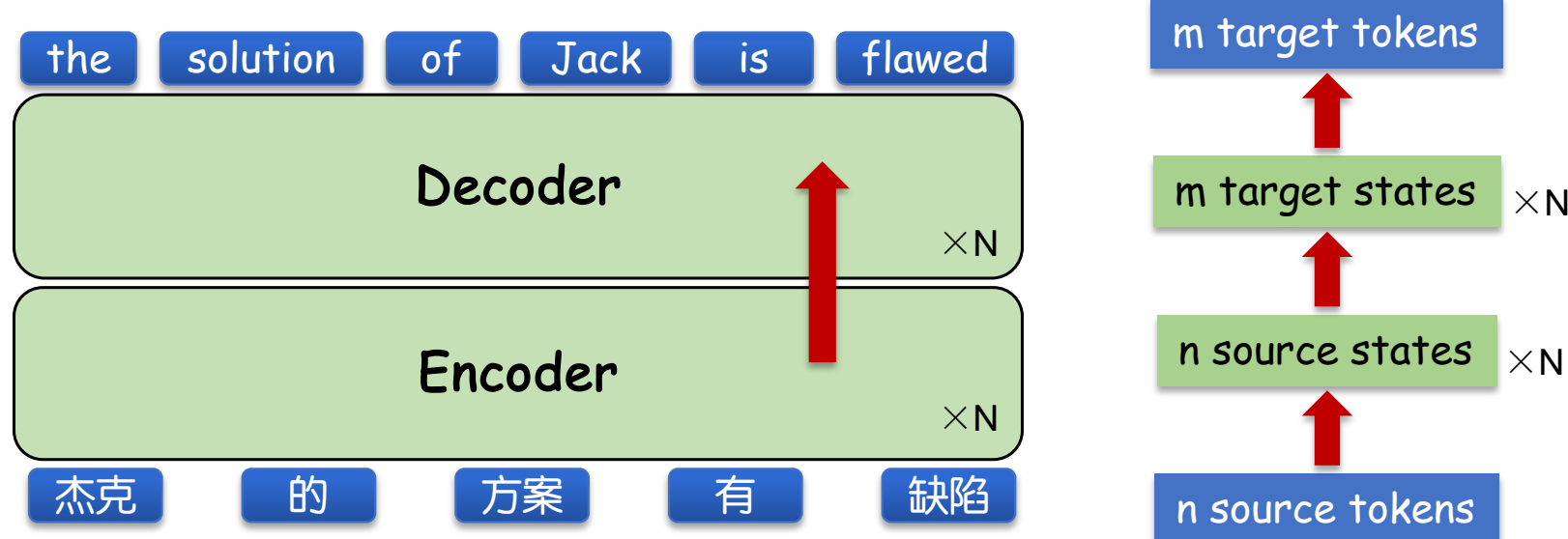
NAT v.s. AT

- **优势:**
 - 生成的**并行性**有助于提升翻译效率
 - 可以减少顺序翻译过程中的**错误累积**
- **劣势:**
 - 过强的**独立性假设**可能影响翻译质量
- **生成过程中，文本内部存在怎样的相互关系？**



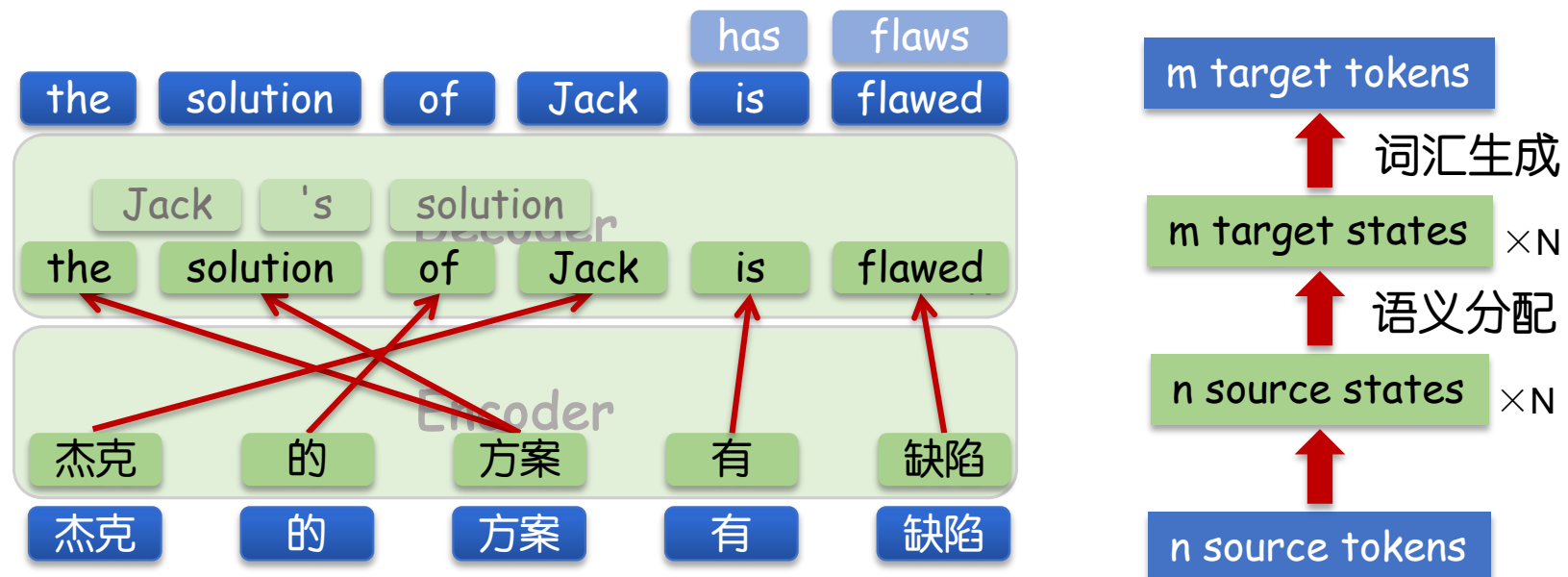


文本之间的协同关系



文本之间的协同关系

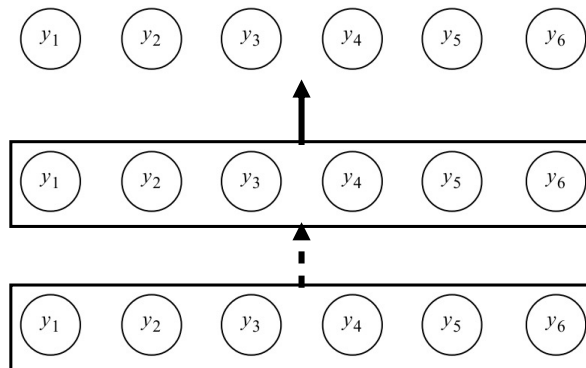
- 语义分配：决定target states（顺序、覆盖）
- 词汇生成：决定target token（一致、关联）





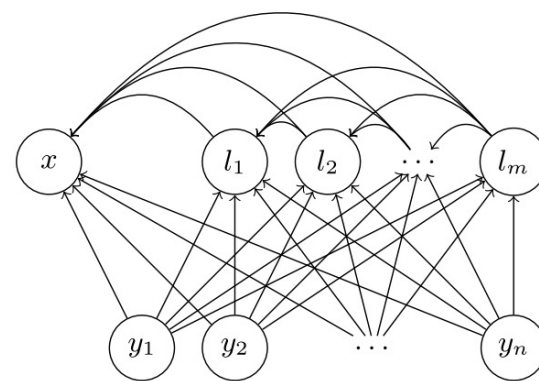
处理文本之间的协同关系的方案

Iterative NAT
(Lee et al. 2018)



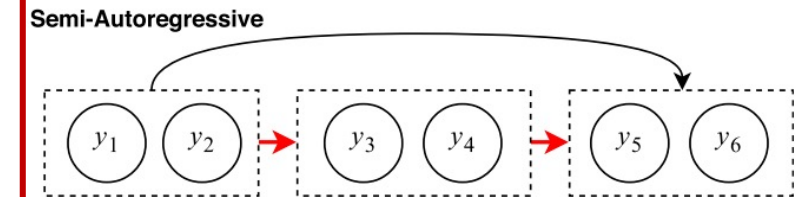
需要多次解码

Latent NAT
(Kaiser et al. 2018)



隐变量多为AT

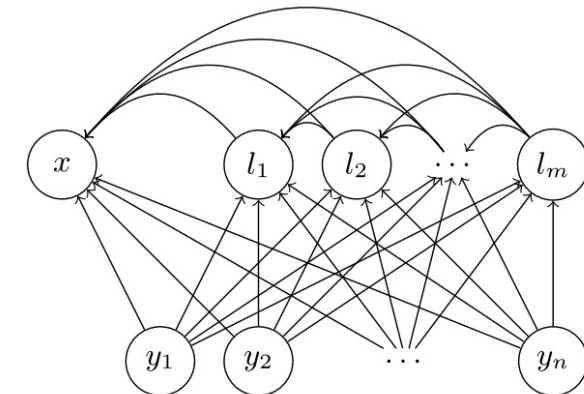
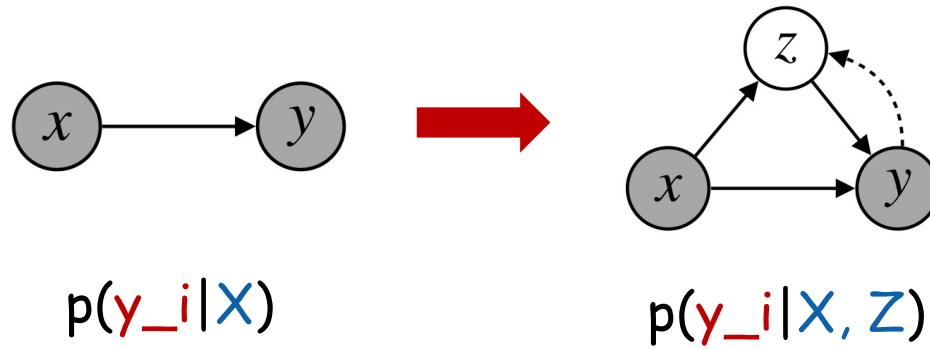
Semi-AT
(Wang et al. 2018)



划分难以把握



基于隐变量的方案



- 将隐变量作为生成的中介，承担协同的功能
 - 保持Y的独立性，弱化独立性假设
 - 潜在优势：相对于生成Y，生成Z的过程可以相对高效
 - 潜在困难：隐变量的学习过程具有挑战



提纲

- **通过隐变量建模离散类别信息及其关联**
 - Non-Autoregressive Translation by Learning Target Categorical Codes. (NAACL2021)
- **通过位置关系预测建模单词之间的关系**
 - Non-Autoregressive Transformer by Position Learning (arXiv: 1911.10677)
- **引入依存句法结构建模目标端的关联关系**
 - Modeling Target-side Interrelation for Non-Autoregressive Neural Machine Translation (in progress)

合作者:

- 鲍宇, 王东琪, 戴新宇, 陈家骏 (南京大学)
- 周浩, 李磊, 王明轩, 封江涛 (字节跳动 AI Lab)
- 肖桐 (东北大学)

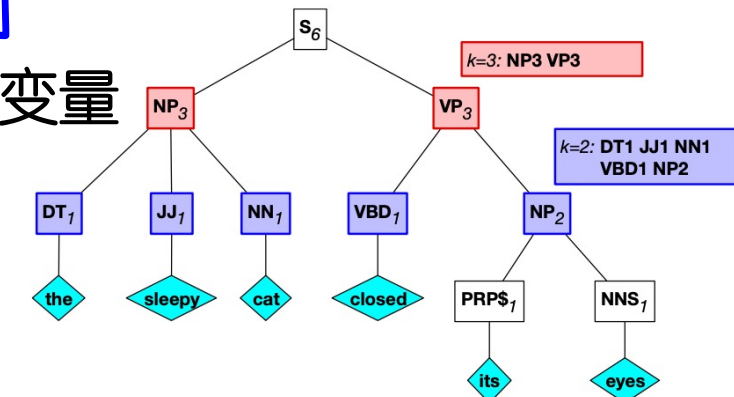
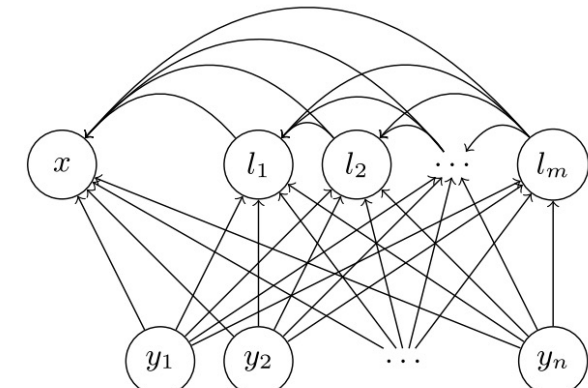




通过隐变量建模离散类别信息及其关联 **CATEGORICAL-NAT**

如何建模隐变量

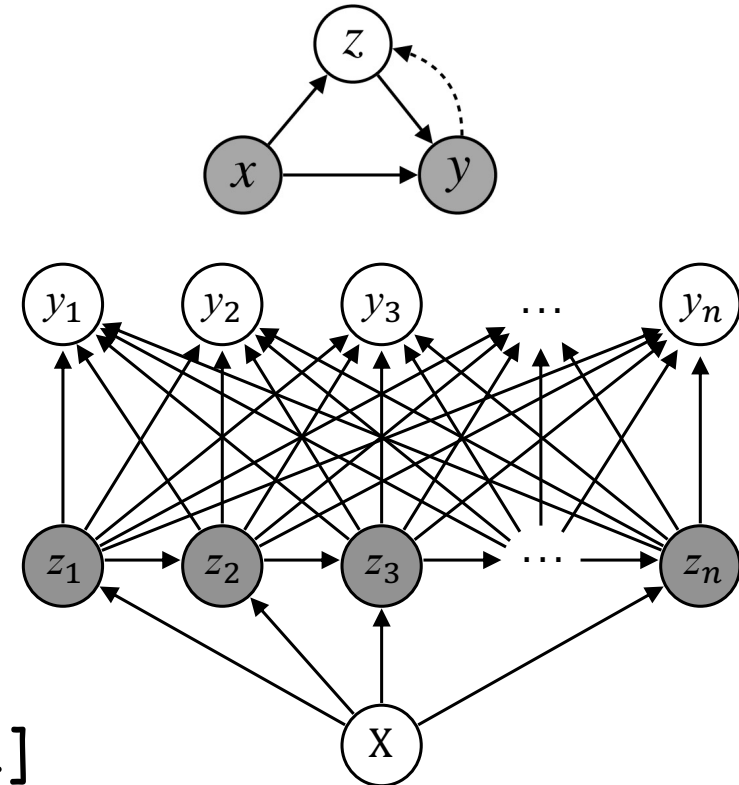
- 利用更短的隐变量序列 [Kaiser et al. 2018]
 - 每个隐变量代表k个连续单词 (chuck)
 - 缺陷:
 - latent code > 32k , 效率受到限制
 - chuck 难以适应不同情况
- 利用外部指定的序列 [Akoury et al. 2019]
 - 根据句法树的结构标记和长度决定中间变量
 - 缺陷:
 - 依赖于外部分析结果
 - 不同层次的句法标记带来解码困难



是否能够学到更加有效且高效的隐变量用于协同?

我们的方案 (CNAT)

- **自动学习离散隐变量作为关联**
 - VQ-VAE + EMA [Kaiser et al., 2018]
- **为每个单词学习独立的隐变量**
 - 避免建模变长的序列
 - latent code 更加简单 $n=64$
- **可以使用更复杂的技术提升协同关系建模**
 - linear chain CRF [Lafferty et al. 2001]



我们的方案 (CNAT)

- 自动学习离散隐变量作为关联

- VQ-VAE

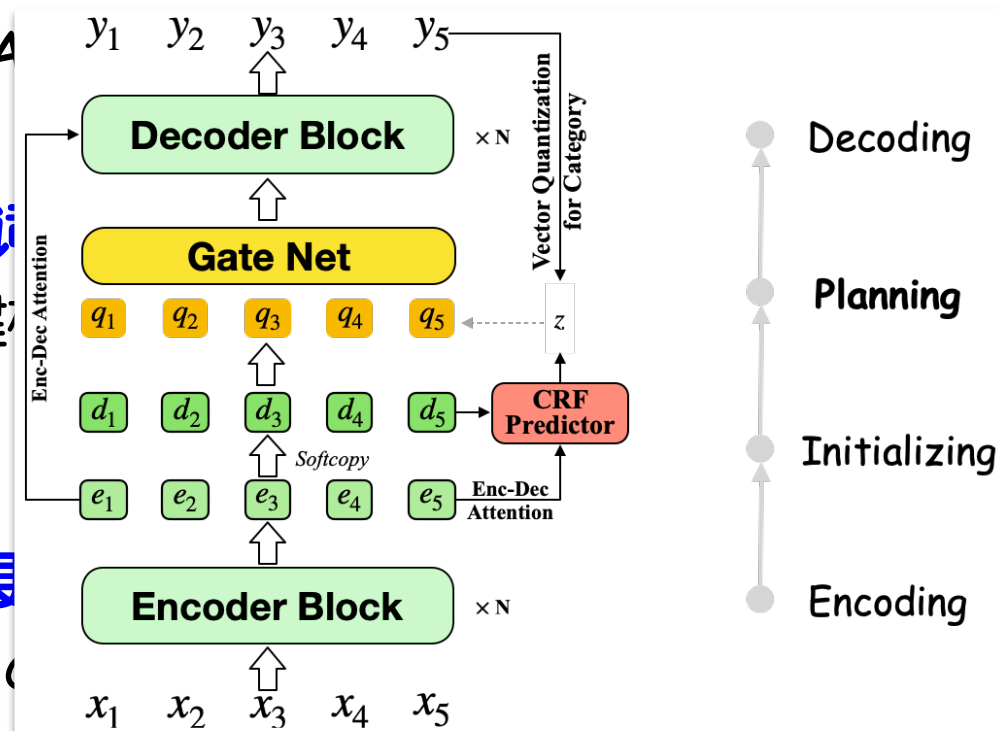
- 为每个单词

- 避免建模

- latent

- 可以使用更

- linear





模型训练

- **GateNet**

- 将隐变量 z 的code q 和原先的decoder input一同输入解码

$$o_i = d_i * g_i + q_i * (1 - g_i)$$

$$g_i = \sigma(\text{FFN}([d_i; q_i]))$$

- **同时优化协同任务 (CRF) 和翻译任务 (NAT)**

$$\mathcal{L}_{\text{crf}} = -\log p(z^{\text{ref}} | x)$$

$$\mathcal{L}_{\text{NAT}} = -\log p(y | z^{\text{mix}}, x; \theta)$$

$$\mathcal{L} = \mathcal{L}_{\text{NAT}} + \alpha \mathcal{L}_{\text{crf}}$$



基础实验

- 与基础NAT等模型的比较 (without KD)

Model	WMT14		IWSLT14
	EN-DE	DE-EN	DE-EN
LV-NAR	11.80	/	/
AXE CMLM	20.40	24.90	/
SynST	20.74	25.50	23.82
Flowseq	20.85	25.40	24.75
NAT (ours)	9.80	11.02	17.77
CNAT (ours)	21.30	25.73	29.81

- 极大的提升了NAT的能力，超过了SynST等现有方法



综合实验

- 加入KD (left) 及reranking (right) 等技术

Model	WMT14		IWSLT14 DE-EN
	EN-DE	DE-EN	
NAT-FT	17.69	21.47	/
LT	19.80	/	/
NAT-REG	20.65	24.77	23.89
imitate-NAT	22.44	25.67	/
Flowseq	23.72	28.39	27.55
NAT-DCRF	23.44	27.22	27.44
Transformer (ours)	27.33	31.69	34.29
NAT (ours)	17.69	18.93	23.78
CNAT (ours)	25.56	29.36	31.15

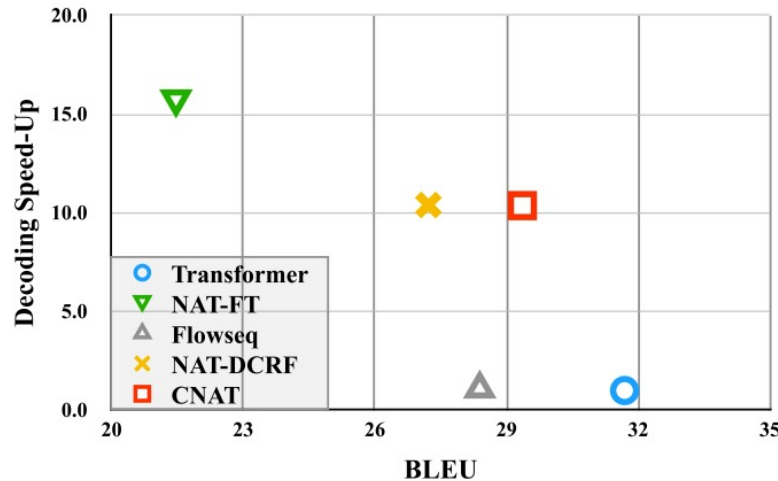
Model	N	WMT14	
		EN-DE	DE-EN
NAT-FT	10	18.66	22.42
NAT-FT	100	19.17	23.20
LT	10	21.00	/
LT	100	22.50	/
NAT-REG	9	24.61	28.90
imitate-NAT	9	24.15	27.28
Flowseq	15	24.70	29.44
Flowseq	30	25.31	30.68
NAT-DCRF	9	26.07	29.68
NAT-DCRF	19	26.80	30.04
Transformer (ours)	-	27.33	31.69
CNAT (ours)	9	26.60	30.75

- 达到或超越了投稿时的一系列方法

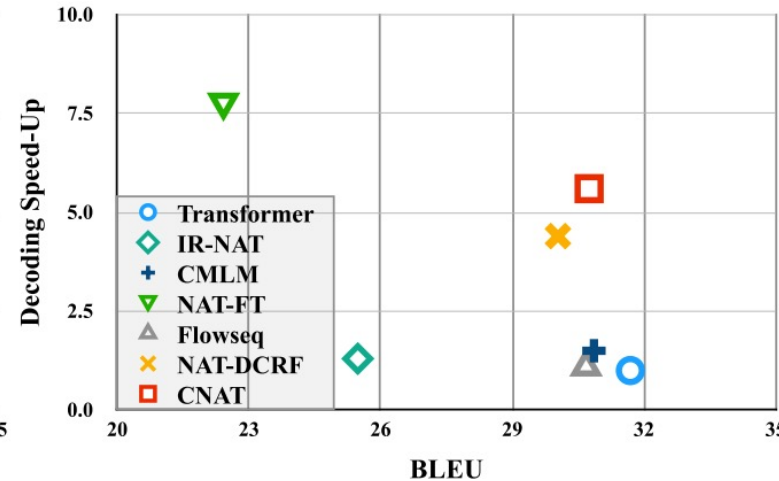


翻译质量 v.s. 解码效率

- CNAT可以更好的平衡翻译质量和解码效率



(a) Pure NAT decoding.



(b) NAT with advanced decoding techniques.

Figure 2: BLEU and decoding speed-up of NAT models on WMT14 DE-EN test set. Each point represents the decoding method run with its corresponding setting in Table 2, Table 3 or Table 4.



Ablation

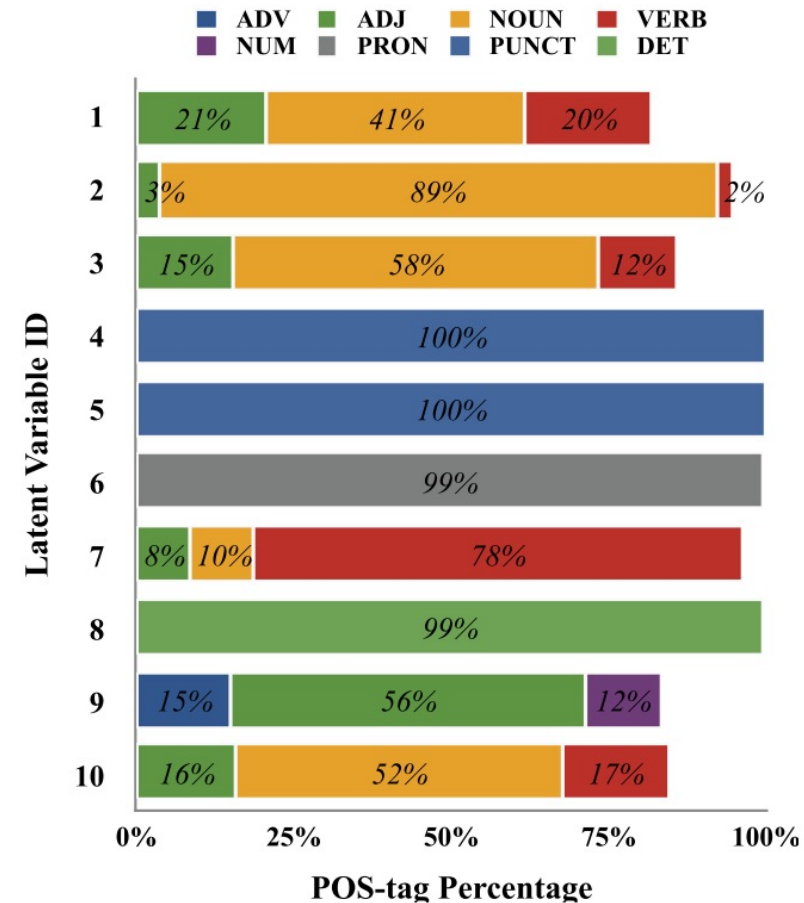
- latent code数量 $K = 64$ 即可取得较好的效果 (line 1-3)
- CRF比简单的AR有更好效果(line 2 v.s. line 5, +3 BLEU)
- GateNet有重要效果 (line 2 v.s. line 4, +2 BLEU)

Line	K			Predictor		GateNet	BLEU
	32	64	128	CRF	AR		
1	✓			✓		✓	30.13
2		✓		✓		✓	31.87
3			✓	✓		✓	30.82
4		✓		✓			29.32
5	✓				✓	✓	28.23
6	✓				✓		24.00
7			✓		✓		25.43
8							24.25



隐变量的可解释性分析

- 频率最高的10个隐变量的POS分布
 - 与POS tag有较为明显的对应
 - 4、5 PUNCT
 - 6 PRON
 - 8 DET
 - 并不完全与某个POS相同





小结

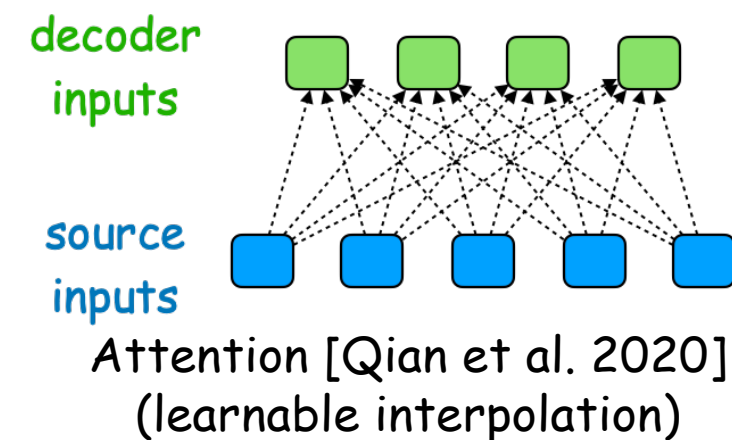
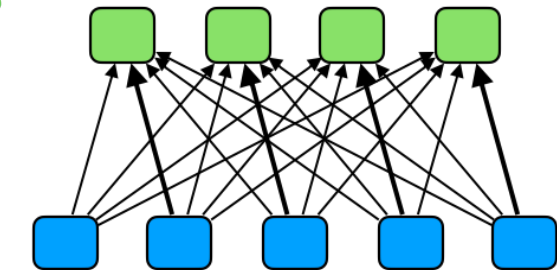
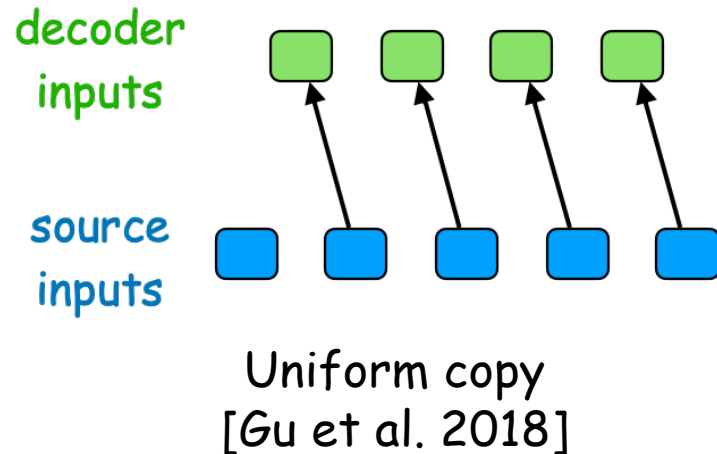
- 可以自动学习到少量离散的隐变量作为单词的代表
 - 通过避免建模多个词构成的序列
- 由此，可以进行更复杂的单词关联关系建模
 - 通过line-chain CRF
- 少量离散隐变量具有一定的可解释性



通过位置关系预测建模单词之间的关系
POSITIONAL-NAT



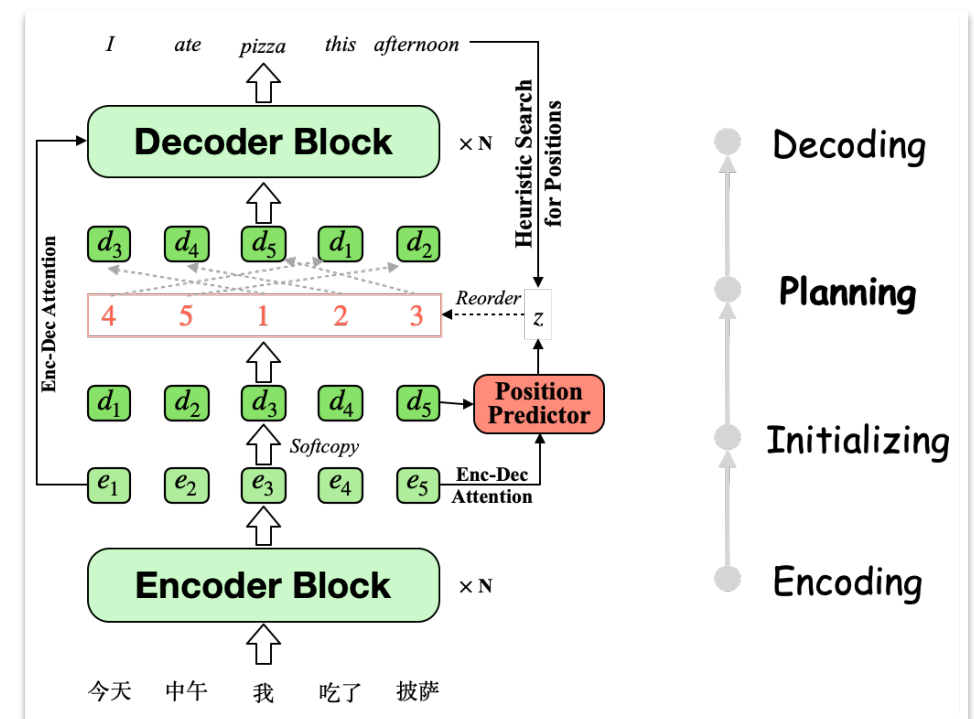
如何确定解码器的状态?



解码器初始状态仅是给定位置编码器状态的融合，语义分配缺少有效协同

调序能力和调序的协同

- 语义分配缺少有效协同
 - 对于顺序差别较大的语言难以有效完成调序
- 解决方案 P-NAT:
 - 引入位置隐变量
 - 显式调整输出的顺序

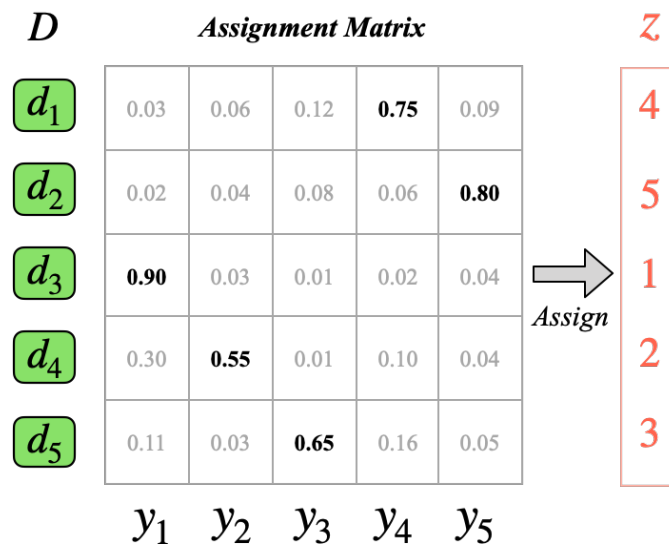




调序模型

- 为每个解码器输入 d 预测其在最终结果中的位置
 - AT调序：自左向右依次预测每一个 d 的位置
- 训练：将训练数据中的 y 和 d 进行对应
 - 线性规划问题，采用启发式方法进行求解

$$y_{1:m} \longleftrightarrow d_{1:m}$$





基础实验结果

- 与基础NAT等模型的比较 (without KD)

Model	BLEU \uparrow	
	EN-DE	DE-EN
LV-NAR [26]	11.80	/
CMLM [27]	10.88	/
Flowseq [20]	18.55	23.36
NAT(ours)	9.80	11.02
PNAT(ours)	19.73 (+9.93)	24.04 (+13.02)

- 极大的提升了NAT的能力



综合实验

- 加入KD (left) 及reranking (right) 等技术

Model	BLEU \uparrow	
	EN-DE	DE-EN
NAT-FT [3]	17.69	21.47
LT [25]	19.80	/
IR-NAR [4]	13.91	16.77
CMLM [27]	15.06	19.26
ENAT [24]	20.65	23.02
NAT-REG [5]	20.65	24.77
imitate-NAT [6]	22.44	25.67
Flowseq [20]	21.45	26.16
Transformer(our)	27.30	31.33
NAT (ours)	17.69	18.93
PNAT (ours)	23.05 (+5.36)	27.18 (+8.25)

Model	N	BLEU \uparrow	
		EN-DE	DE-EN
NAT-FT	10	18.66	22.42
NAT-FT	100	19.17	23.20
LT	10	22.50	/
ENAT	9	24.28	26.10
NAT-REG	9	24.61	28.90
imitate-NAT	9	24.15	27.28
Flowseq	30	23.48	28.40
Transformer (ours)	-	27.30	31.33
PNAT (ours)	9	24.48	29.16

- 达到或超越了工作完成时的一系列方法



位置正确性v.s.翻译质量

- HSP相当于Oracle的位置信息 (+30 BLEU)
- 利用AR预测器可以得到提升位置信息的作用 (+11 BLEU)
- 利用NAR预测器速度更快，但位置不够准确 (+4 BLEU)

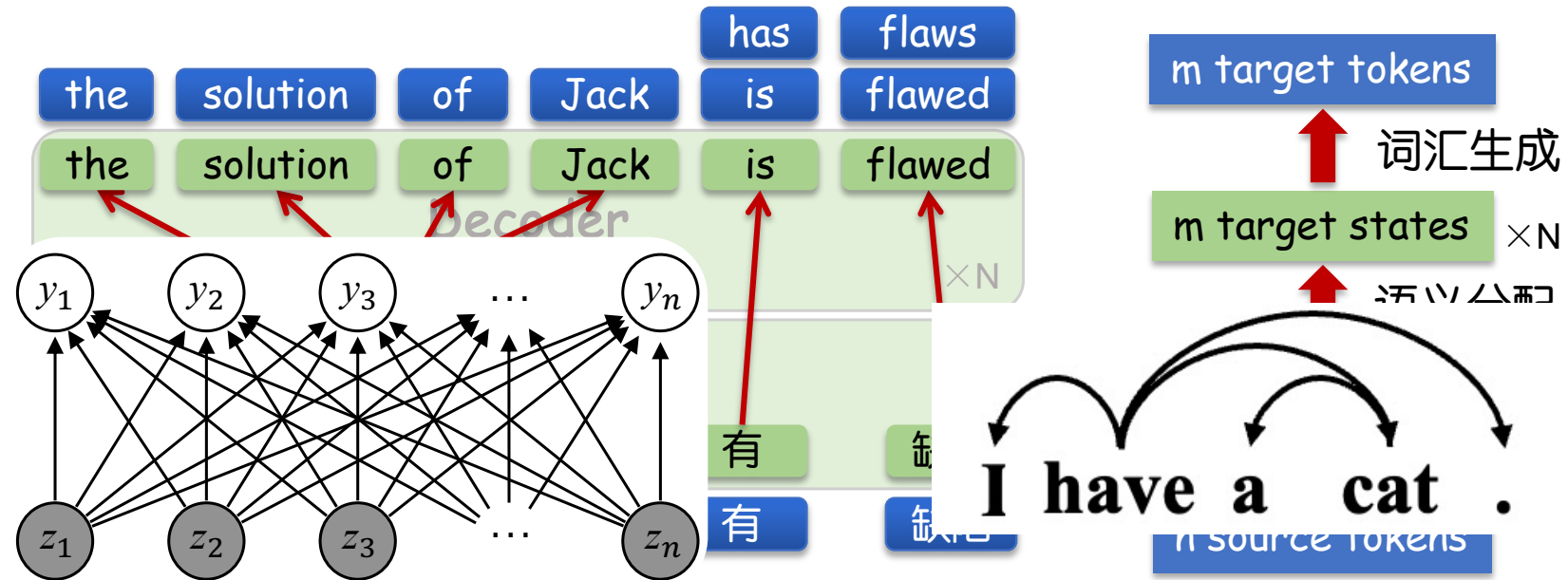
Model	Position Accuracy(%)		BLEU↑	Speed Up↑
	absolute↑	relative↑		
Transformer (Beam=4)	/	/	30.68	1.0 ×
NAT	/	/	16.71	13.5×
PNAT w/ HSP	100.00	100.00	46.03	12.5×
w/ AR-Predictor	25.30	59.27	27.11	7.3 ×
w/ NAR-Predictor	23.11	55.57	20.81	11.7×



引入依存句法结构建模目标端的关联关系 **INTERRELATION-BASED-NAT**

文本之间的协同关系

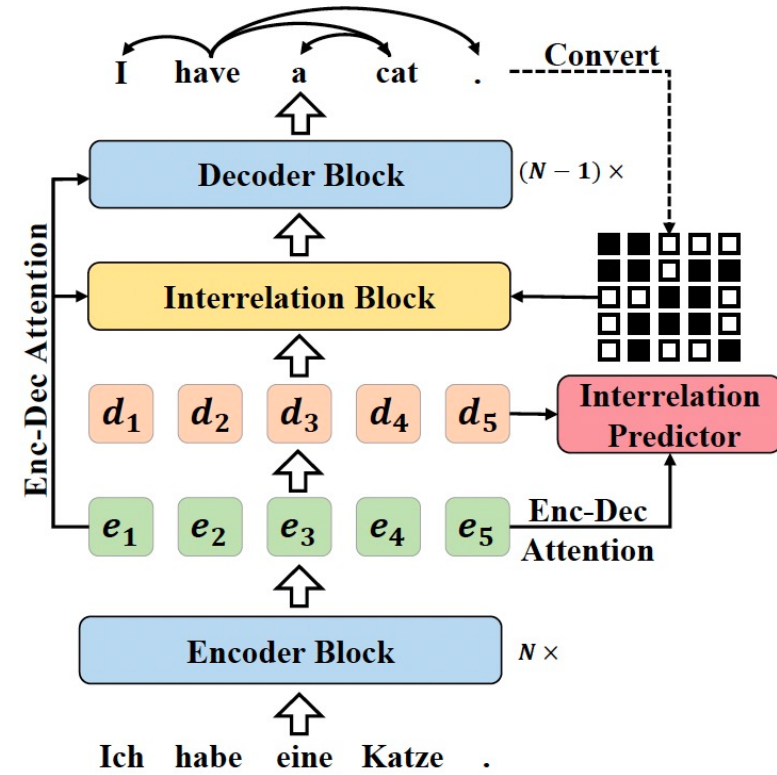
- 语义分配：决定target states（顺序、覆盖）
- 词汇生成：决定target token（一致、关联）





我们的方案 (inter-NAT)

- 基于依存关系提取不同解码位置之间的协同关系
 - 描述了部分词语之间的依赖关系
- 基于协同关系进行后续并行解码





基础实验结果

- 与基础NAT等模型的比较 (without KD)

Model	WMT14		WMT16	
	EN-DE	DE-EN	EN-RO	RO-EN
SynST	20.74	25.50	/	/
Flowseq	20.85	25.40	29.86	30.69
AXE	20.40	24.90	30.47	31.42
NAT [†]	11.60	16.15	21.40	19.94
Inter-NAT [†]	21.78	27.40	30.79	31.47

- 极大的提升了NAT的能力



综合实验

- 加入KD (left) 及 reranking (right) 等技术

Model	WMT14		WMT16	
	EN-DE	DE-EN	EN-RO	RO-EN
NAT-FT	17.69	21.47	27.29	29.06
LT	19.80	/	/	/
NAT-REG	20.65	24.77	/	/
NAT-DCRF	23.44	27.22	/	/
ENAT	20.65	23.03	30.08	/
imitate-NAT	22.44	25.67	28.61	28.90
Flowseq	23.72	28.39	29.73	30.72
GLAT	25.21	29.84	31.19	32.04
Transformer [†]	27.25	31.53	33.97	33.60
Inter-NAT [†]	25.78	29.89	32.10	30.97

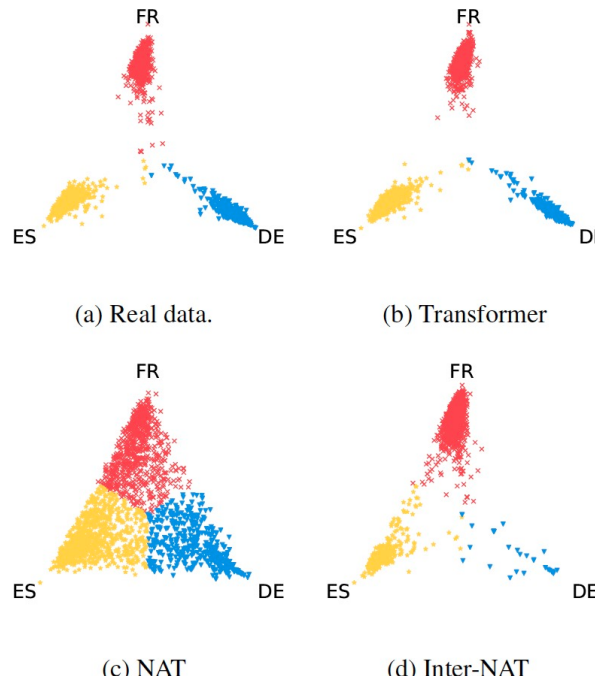
Model	N	WMT14		WMT16	
		EN-DE	DE-EN	EN-RO	RO-EN
NAT-FT	100	19.17	23.20	29.79	31.44
LT	10	21.00	/	/	/
NAT-REG	9	24.61	28.90	/	/
NAT-DCRF	19	26.80	30.04	/	/
ENAT	9	24.28	26.10	34.51	/
Flowseq	30	25.31	30.68	32.20	32.84
imitate-NAT	7	24.15	27.28	31.45	31.81
GLAT	7	26.55	31.02	32.87	33.51
Fully-NAT	/	27.20	31.39	33.71	34.16
Transformer [†]	-	27.25	31.53	33.97	33.60
Inter-NAT [†]	7	27.17	31.45	33.75	32.72

- 达到或超越了工作完成时的一系列方法



减少模态的能力

- Inter-NAT能够增强词汇生成过程中进行协同的能力
 - 减少词汇分配歧义 (multi-modes) 的场景 [Zhou et al. 2018]



Data	$C(d)$	Euclidean distance
Real Data	0.78	0.22
Transformer †	0.56	0.23
NAT †	0.62	0.46
Inter-NAT †	0.41	0.27



总结

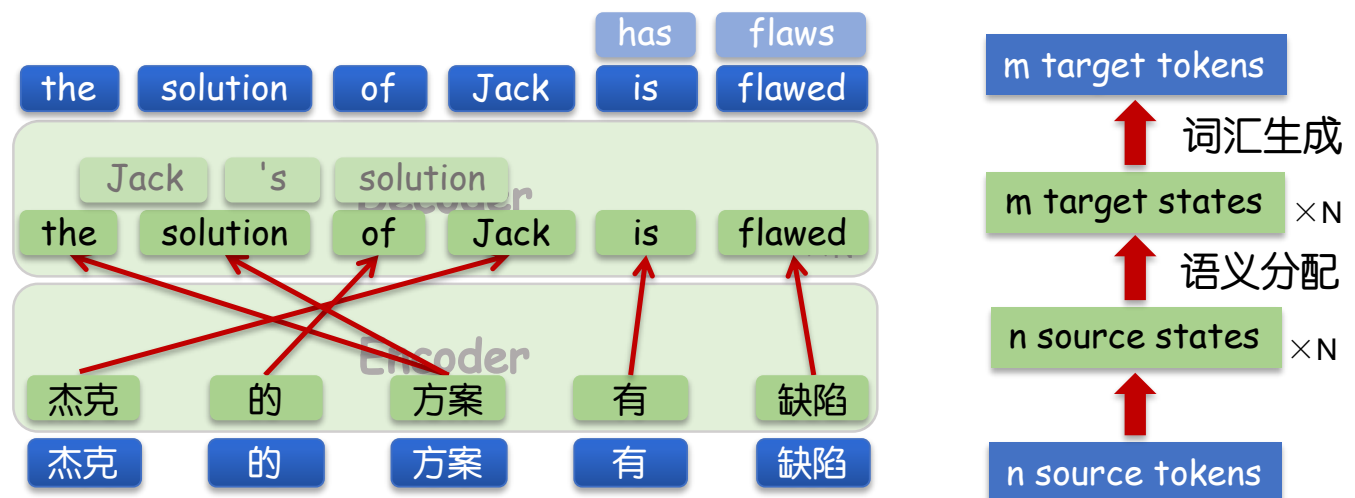
生成过程中，文本内部存在怎样的相互关系？

离散少量隐变量

调序关系

依赖关系

.....





参考文献

- Warren Weaver. Translation. 1949
- Makoto Nagao. A framework of a mechanical translation between Japanese and English by analogy principle. In A. Elithorn and R. Banerji. Artificial and Human Intelligence. Elsevier Science Publishers. 1984
- P. F. Brown, S. D. Pietra, V. J. D. Pietra, and R. L. Mercer. The mathematic of statistical machine translation: Parameter estimation. Computational Linguistics 1993
- Sutskever Ilya, Vinyals Oriol, Le Quoc V.. Sequence to Sequence Learning with Neural Networks. NIPS 2014
- Kyunghyun Cho, Bart van Merriënboer, Caglar Gulcehre, Dzmitry Bahdanau, Fethi Bougares, Holger Schwenk, Yoshua Bengio. Learning Phrase Representations Using RNN Encoder-Decoder for Statistical Machine Translation. EMNLP 2014



参考文献

- Dzmitry Bahdanau, Kyunghyun Cho, Yoshua Bengio. Neural Machine Translation by Jointly Learning to Align and Translate. ICLR 2015
- Thang Luong, Kyunghyun Cho, Christopher Manning. Neural Machine Translation. ACL tutorial. 2016
- Vaswani A, Shazeer N, Parmar N, et al. Attention is all you need[J]. NIPS 2017.
- Gu J, Bradbury J, Xiong C, et al. Non-autoregressive neural machine translation. arXiv preprint arXiv:1711.02281, 2017.
- Jason Lee, Elman Mansimov, and Kyunghyun Cho. Deterministic non-autoregressive neural sequence modeling by iterative refinement. EMNLP 2018.
- Chunqi Wang, Ji Zhang, Haiqing Chen. Syntactically Supervised Transformers for Faster Neural Machine Translation. arXiv:1906.02780. 2019



参考文献

- Lukasz Kaiser, Samy Bengio, Aurko Roy, Ashish Vaswani, Niki Parmar, Jakob Uszkoreit, and Noam Shazeer. Fast decoding in sequence models using discrete latent variables. ICML 2018.
- Nader Akoury, Kalpesh Krishna, and Mohit Iyyer. Syntactically supervised transformers for faster neural machine translation. ACL 2019.
- John D. Lafferty, Andrew McCallum, and Fernando C. N. Pereira. Conditional random fields: Probabilistic models for segmenting and labeling sequence data. ICML 2001.
- Bingzhen Wei, Mingxuan Wang, Hao Zhou, Junyang Lin, and Xu Sun. Imitation learning for non-autoregressive neural machine translation. ACL 2019.
- Lihua Qian, Hao Zhou, Yu Bao, Mingxuan Wang, Lin Qiu, Weinan Zhang, Yong Yu, and Lei Li.
- Glancing transformer for non-autoregressive neural machine translation. arXiv preprint arXiv:2008.07905. 2020.



参考文献

- Dozat T, Manning C D. Deep biaffine attention for neural dependency parsing. arXiv preprint arXiv:1611.01734, 2016.
- Shaw P, Uszkoreit J, Vaswani A. Self-attention with relative position representations. arXiv preprint arXiv:1803.02155, 2018.
- Chunting Zhou, Jiatao Gu, and Graham Neubig. 2020. Understanding knowledge distillation in non-autoregressive machine translation. In 8th International Conference on Learning Representations, ICLR 2020, Addis Ababa, Ethiopia, April 26-30, 2020. OpenReview.net.